

Farbabbildungen



Abb. 1: Teilnehmer des Internationalen Workshops „Zur Situation der Mopsfledermaus in Europa“. 5. - 7. Sept. 1997 in Mansfeld, Sachsen-Anhalt, Deutschland. Im Hintergrund des Bildes: Schloß Mansfeld in Sachsen-Anhalt. Aufn.: A. THIELE

Fig. 1: Attendants of the workshop referring to the situation of the Barbastelles. September 5 to 7. 1997. Mansfeld, Saxony-Anhalt.

Fig. 1: Participants à la séance de travail touchant à la situation des Barbastelles. 5 au 7 septembre 1997. Mansfeld, Saxe-Anhalt, Allemagne



Abb. 2: Das Verschließen der Gyurkó-lápa-Höhle. Aufn.: P. GOMBKÓTÓ

Fig. 2: The closing of Gyurkó-lápa cave.

Fig. 2: La fermeture de la grotte Gyurkó-lápa.



Abb. 3: Das Verschließen der Gyurkó-lápa-Höhle. Aufn.: P. GOMBKÓTÓ

Fig. 3: The closing of Gyurkó-lápa cave.

Fig. 3: La fermeture de la grotte Gyurkó-lápa.



Abb. 4: Das Verschließen der Gyrkó-lápa-Höhle.
Aufn.: P. GOMBKÓTÓ

Fig. 4: The closing of Gyrkó-lápa cave.

Fig. 4: La fermeture de la grotte Gyrkó-lápa.



Abb. 5: Das Verschließen der Mánfa-lápa-Höhle.
Aufn.: P. GOMBKÓTÓ

Fig. 5: The closing of the Mánfa-lápa cave.

Fig. 5: La fermeture de la grotte Mánfa-lápa.



Abb. 6: Vorderansicht der Zerbster Schloßruine. Aufn.: S. HANS

Fig. 6: Front view of the castle ruin Zerbst.

Fig. 6: Vue de la ruine du château de Zerbst.



Abb. 7: Herausgebrochene Stahlgittertür am Eingang des Kellergewölbes. Aufn.: S. HAHN

Fig. 7: Carved out iron gate at the underground vault entrance.

Fig. 7: Grille en acier endommagée l'entrée de voûte de la cave.



Abb. 8: Typische Waldgesellschaft im NSG „Brambach“. Aufn.: S. HAHN

Fig. 8: Typical forest stand in the nature reserve „Brambach“.

Fig. 8: Association forestière typique dans la réserve de „Brambach“.



Abb. 9: Mopsfledermaus aus der Szachowrica-Höhle. Aufn.: J. HEJDUK

Fig. 9: Barbastelle from Szachowrica cave.

Fig. 9: *Barbastella barbastellus* de la cave de Szachowrica.



Abb. 10: *Barbastella barbastellus*. Aufn.: G. RADZICKI



Abb. 11: *Barbastella barbastellus* aus dem Stollen Medené hárnre im Malé Karpaty-Gebirge. Aufn.: R. LEROTSKY

Fig. 11: *Barbastella barbastellus* from the gallery Medené hárnre in Malé Karpaty Mts.

Fig. 11: *Barbastella barbastellus* dans la mine de Medené hárnre dans le massif de Malé Karpates.

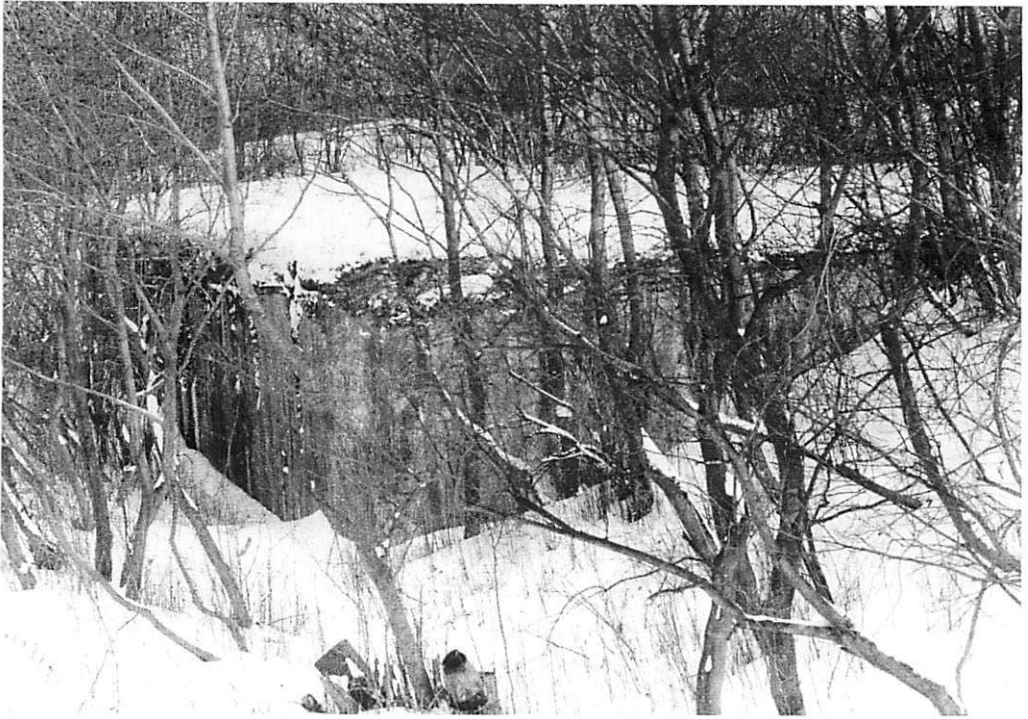


Abb. 12: Winterquartier in Kaunas, Auf'n.: D. H. PAUZA

Fig. 12: Winter roost in Kaunas.

Fig. 12: Gîte d'hivernage à Kaunas.

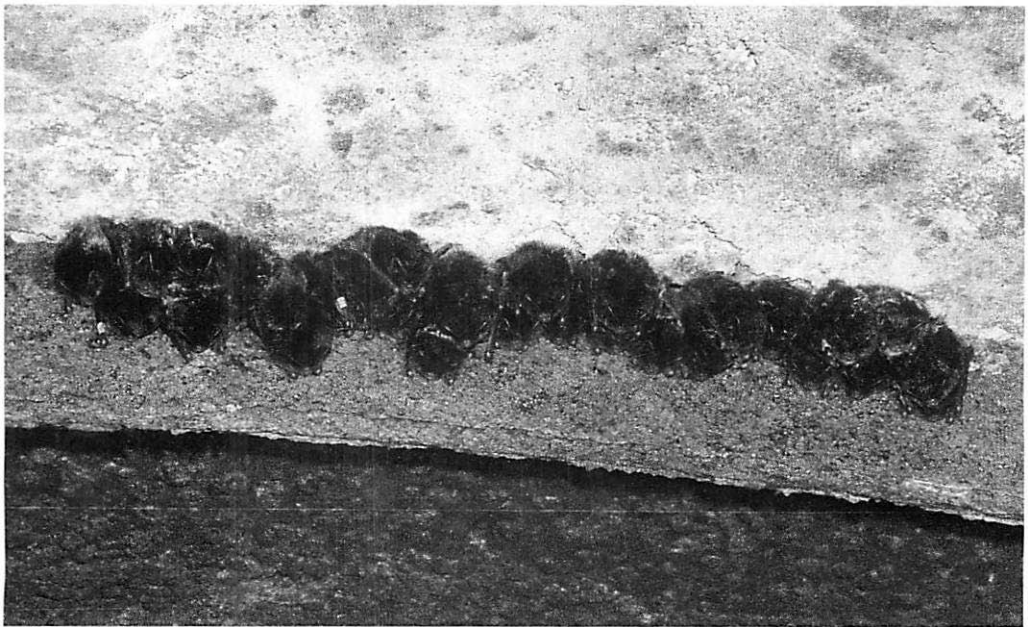


Abb. 13: Überwinternde Mopsfledermäuse im Winterquartier in Kaunas, Auf'n.: D. H. PAUZA

Fig. 13: Hibernating Barbastelles in Kaunas winter roost.

Fig. 13: Des Barbastelles hibernant dans le gîte d'hivernage à Kaunas.



Abb. 14: Eine Kolonie von 29 überwinternden Mopsfledermäusen im Winterquartier in Kaunas. Aufn.: D. H. PAUZA

Fig. 14: A colony of 29 hibernating Barbastelles in the winter roost of Kaunas.

Fig. 14: Une colonie de 29 Barbastelles hibernant dans le gîte d'hivernage à Kaunas.



Abb. 15: Das Drancetal und seine weiten kontinentalen Kiefern gemischt mit steinigen Zutage liegendem formen das zu untersuchende Land (Hintergrund). Aufn.: A. SIERRO

Fig. 15: The Drance valley and its vast continental pine forest mixed with stony outcrops formed the study field (background).

Fig. 15: La vallée de la Drance et ses vastes pinèdes continentales mêlées à des affleurements rocheux consistent le terrain d'étude (à l'arrière-plan).

Abb. 16: Eine kleine malaisische Falle ist an der Spitze eines Pfostens befestigt, in Reihe zu den Insekten, die über die Baumkronen fliegen. Aufn.: A. SIERRO

Fig. 16: A small Malaysian trap is affixed to the top of a pole in order to trap insects flying above tree crowns.

Fig. 16: Un petit piège Malaisien est fixé à une perche pour capturer les insectes volant au-dessus de la couronne des arbres.

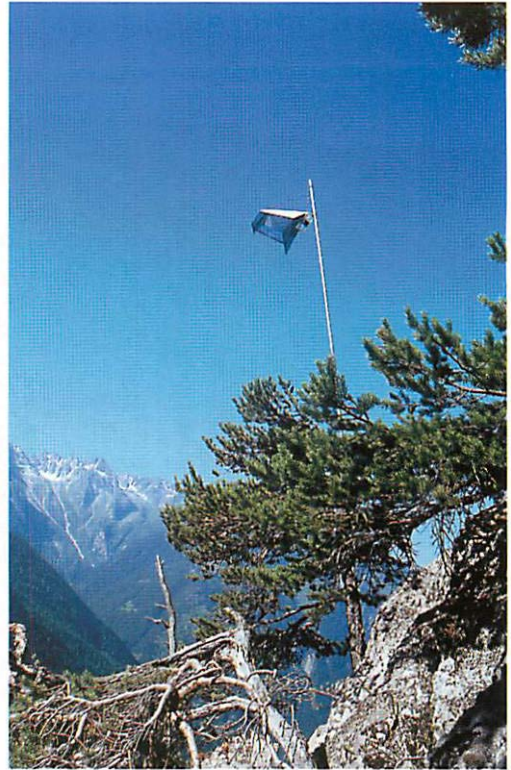


Abb. 17: Ein neuer Fallenhinweis: drei kleine malaisische Fallen hängen an einem Ballon in Reihe zur einzuschätzenden Nahrungsverfügbarkeit über den Baumkronen. Aufn.: A. SIERRO

Fig. 17: A new trapping device: three small Malaysian traps hung to a balloon in order to estimate food availability above tree canopy.

Fig. 17: Un nouveau système de capture: trois pièges Malaisiens sont suspendus à un ballon gonflable afin d'estimer l'offre en nourriture au-dessus de la canopée.

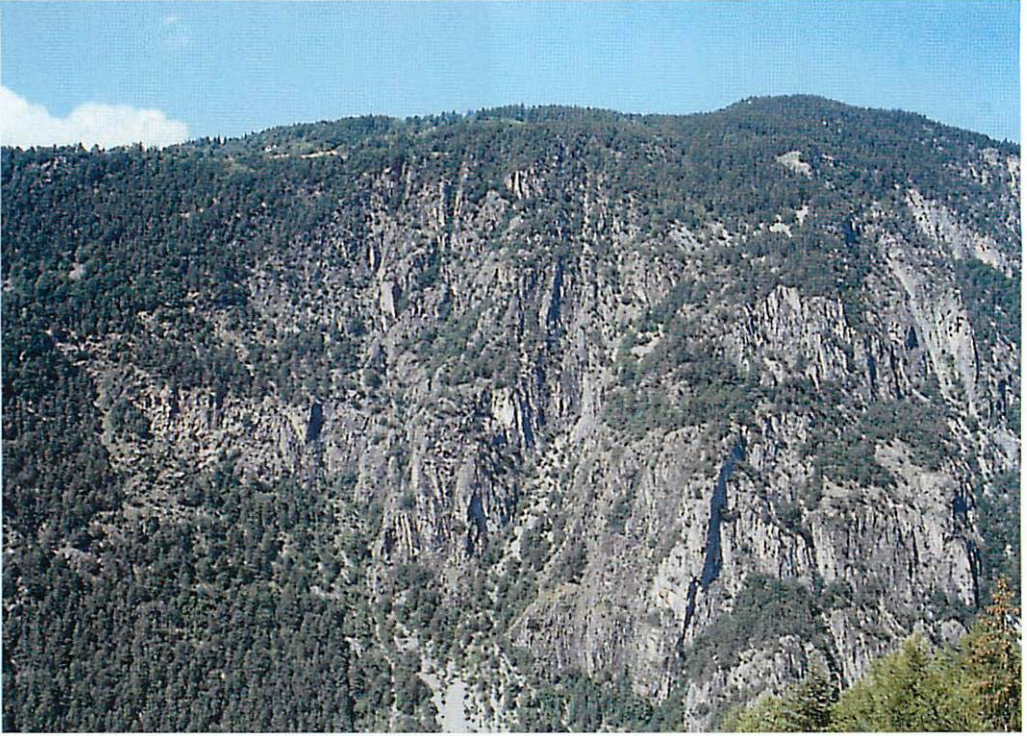


Abb. 18: Nahrungsgebiete der Mopsfledermäuse: nur die äußerst produktiven Kiefernwälder werden genutzt.
Aufn.: A. STERRO

Fig. 18: Foraging grounds of the Barbastelles: only the most productive pinewoods are used.

Fig. 18: Terrains de chasse des Barbastelles: seules les pinèdes les plus productives sont utilisées.

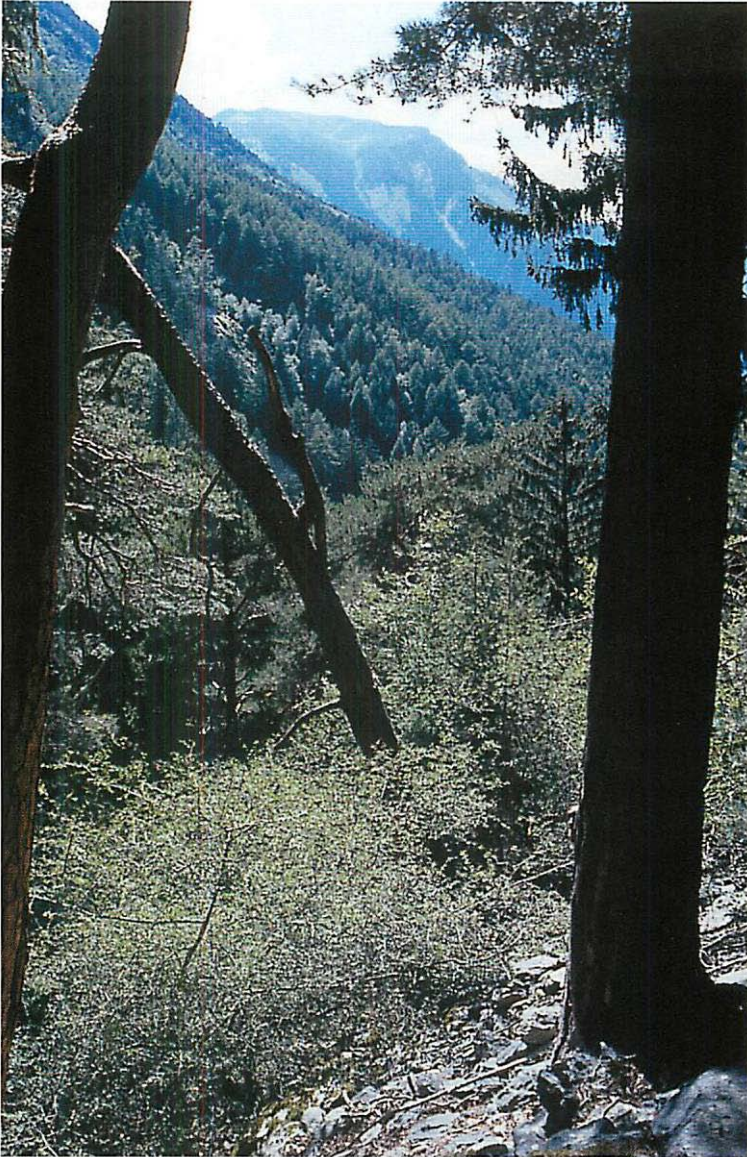


Abb. 19: Vertikaler Aufbau der äußerst produktiven Wälder, genutzt als Nahrungsgebiete von den Mopsfledermäusen. Aufn.: A. SIERRO

Fig. 19: Vertical structure of most productive forests used as foraging site by the Barbastelles.

Fig. 19: Structure verticale des forêts les plus productives utilisées par les Barbastelles.



Abb. 20: Hauptnachtfliegenarten gefangen in der Lichtfalle (< 30 mm Spannweite). Aufn.: A. SIERRO

Fig. 20: Main moth species found in the light trap (< 300 mm wingspart).

Fig. 20: Principales espèces de papillons nocturnes capturés au piège lumineux (envergure < 30 mm).



Abb. 21: Jagdgebiet der Mopsfledermaus in Sachsen. Aufn.: A. THEILER

Fig. 21: Hunting grounds of Barbastelle in Sachsen.

Fig. 21: Terrain de chasse de la *Barbastella barbastellus* à Sachsen.

ZOBODAT - www.zobodat.at

Zoologisch-Botanische Datenbank/Zoological-Botanical Database

Digitale Literatur/Digital Literature

Zeitschrift/Journal: [Nyctalus – Internationale Fledermaus-Fachzeitschrift](#)

Jahr/Year: 2002

Band/Volume: [NF_8](#)

Autor(en)/Author(s): Redaktion

Artikel/Article: [Farbabbildungen 701-712](#)